

Определение энергии альфа-частиц по величине их пробега в воздухе

Шмаков Владимир — ФФКЭ - Б04-105

Цель работы

- Измерить пробег α -частиц двумя способами — при помощи сцинтилляционного счетчика и при помощи ионизационной камеры.
- По полученным величинам пробега оценить энергию α -частиц

Теоретические сведения

При прохождении в веществе α -частицы теряют свою энергию в результате неупругих столкновений с атомами вещества. Эти потери вызывают ионизацию атомов вещества, поэтому такие потери называются **ионизационными потерями**.

Нильс Бор вывел формулу, описывающую потери энергии в результате взаимодействия частицы с электронами:

$$\left(\frac{dE}{dx}\right)_{\text{ион}} = 4\pi \frac{e^4 z^2}{mv^2} nZ \ln \frac{y_{\max}}{y_{\min}} \quad (1)$$

Формула (1) выражает потери энергии на единице пути в результате взаимодействия с электронами на любых возможных прицельных расстояниях (лежащих в диапазоне от y_{\min} до y_{\max}). **Прицельное расстояние** — расстояние между частицей и свободным электроном.

Средний ионизационный потенциал \bar{I} — минимально возможное значение потерянной энергии частицы. Выражение (1) может быть переписано с использованием величины \bar{I} :

$$\left(\frac{dE}{dx}\right)_{\text{ион}} = 4\pi \frac{e^4 z^2}{mv^2} nZ \ln \frac{2mv^2}{\bar{I}} \quad (2)$$

Величину dE/dx называют **тормозной способностью вещества**. Зависимость dE/dx от пути, пройденной частицей в веществе, описывается кривой Брэгга (смотрите рисунок 1).

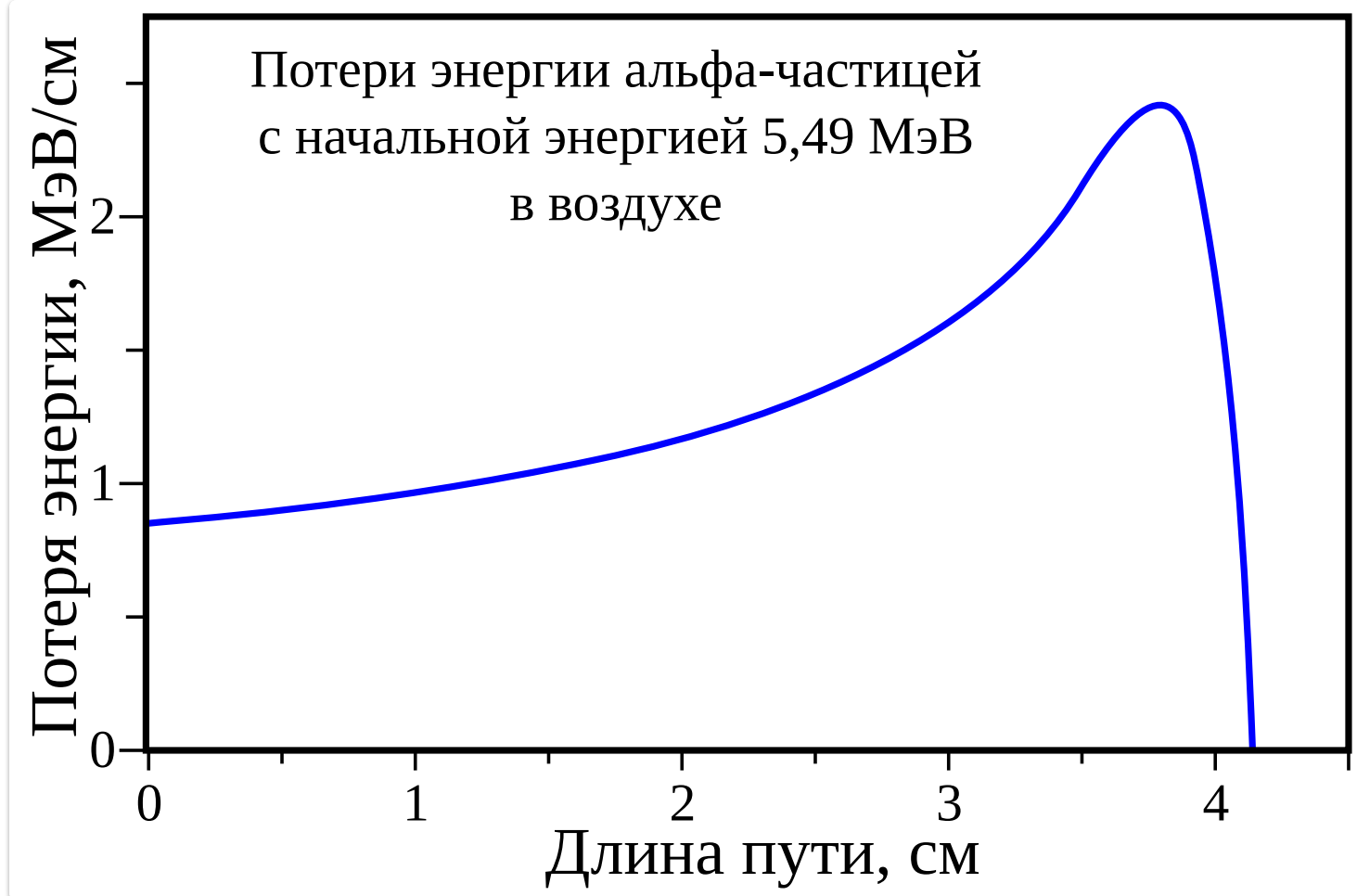


Рисунок 1. Кривая Брэгга — зависимость тормозной способности от пройденного частицей пути

Зная зависимость тормозной способности от пути, несложно найти **пробег частицы** — путь при прохождении которого энергия частицы станет равной нулю (смотрите формулу 3).

$$R \propto E^2 \quad (3)$$

Формула описывающая зависимость пробега частицы от начальной энергии. Выведена при предположении что частица взаимодействует только с электронами

При обработке экспериментальных данных часто пользуются эмпирическим соотношением (4), связывающем энергию и пробег частицы:

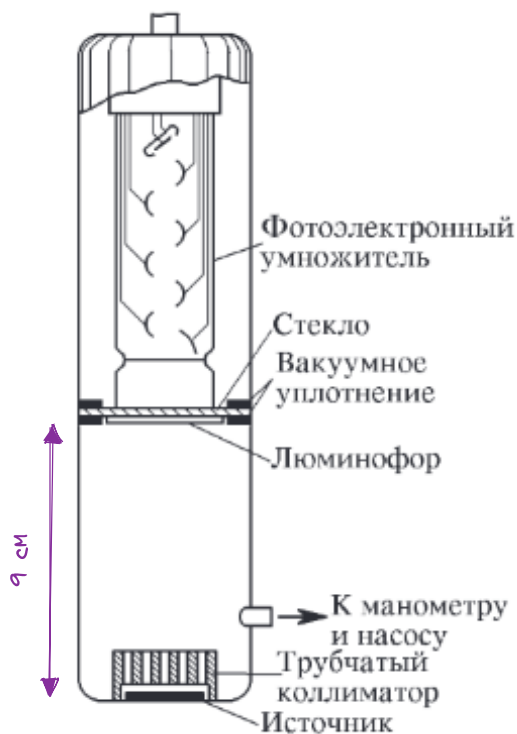
$$R = 0.32E^{3/2} \quad (4)$$

Связь энергии частицы с её пробегом. R (при 15°C и нормальном атмосферном давлении).

Методика

Сцинтилляционный счетчик

Описание счетчика представлено на рисунке 2:



При попадании на частицы на люминофор происходит свечение. Сигнал фотоумножителя попадает на пересчетное устройство.

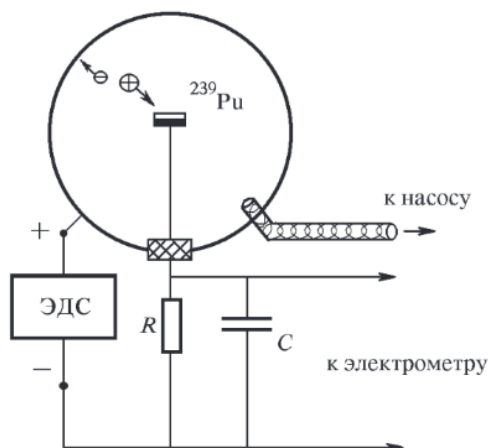
При меньшем давлении долетает большее число альфа-частиц.

Так определение пробега сводится к измерению зависимости интенсивности счета от давления в камере.

Рисунок 2. Принцип работы сцинтилляционного счетчика.

Ионизационная камера

Принцип работы ионизационной камеры представлен на рисунке (3):



Ионизационная камера - прибор для количественного измерения ионизации, произведённой заряженными частицами при прохождении через газ.

Определение свободного пробега сводится к измерению зависимости силы тока от давления.

Рисунок 3. Принцип работы ионизационной камеры.

Обработка результатов эксперимента

Ионизационный счетчик

Данные полученные в ходе эксперимента представлены на рисунке (4):

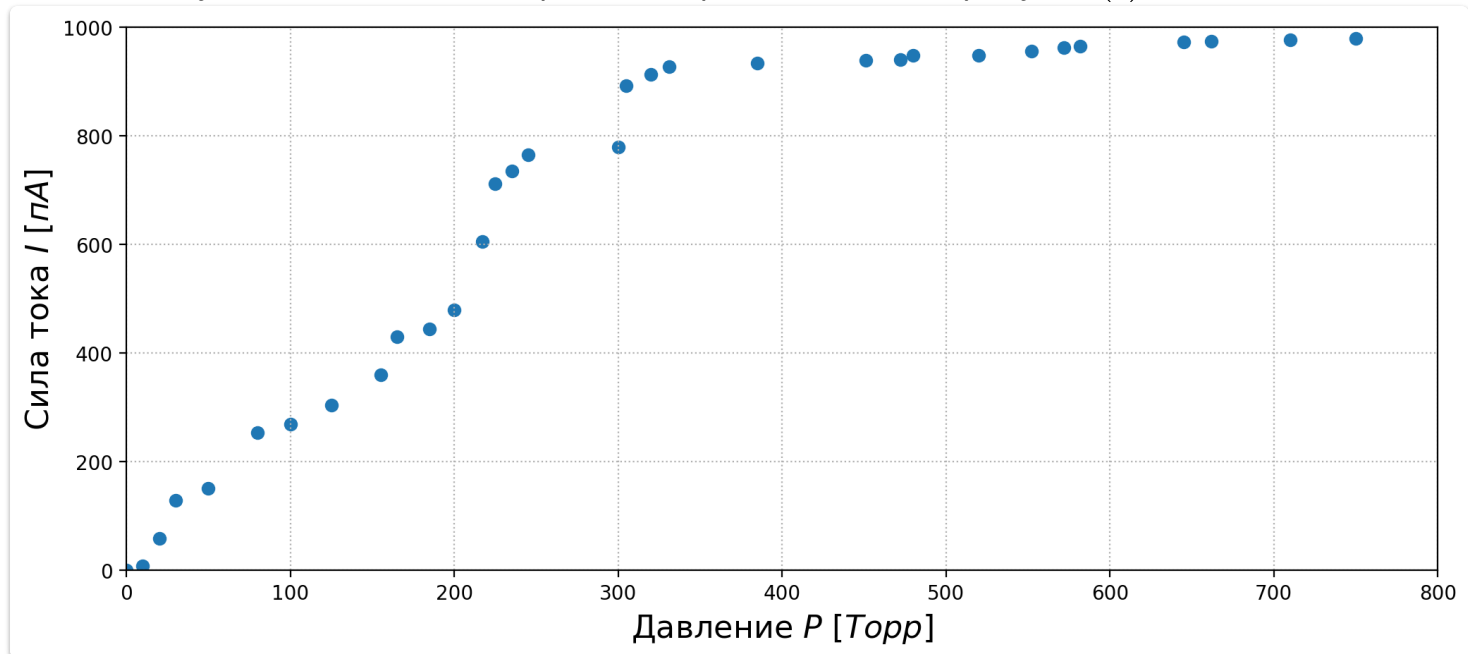


Рисунок 4. Экспериментальные данные.

Интерполируем данные функцией вида:

$$f(P) = \begin{cases} aP, & P < P_0 \\ c, & P \geq P_0 \end{cases}$$

Такая интерполяция поможет отделить линейную часть зависимости от зависимости вида $f(P) = C$. Результат интерполяции представлен на рисунке (5):

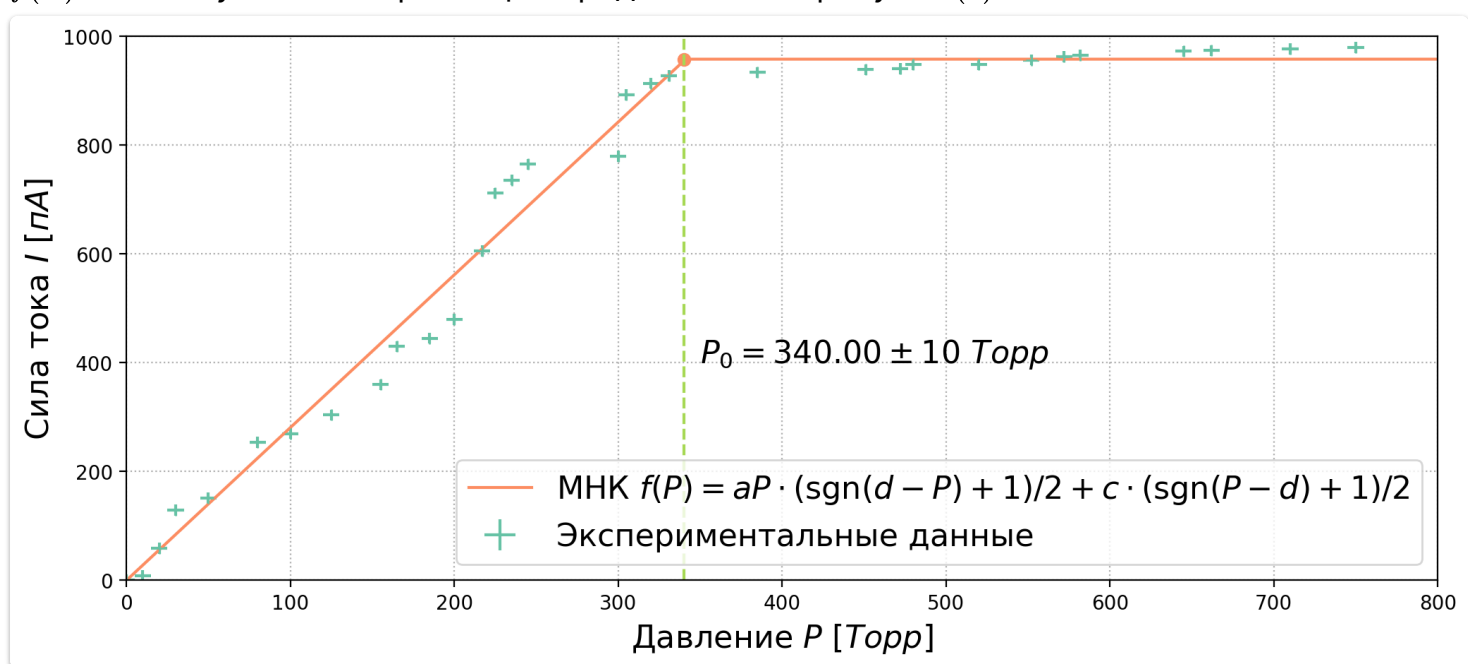


Рисунок 5. Интерполяция экспериментальных данных — нахождение P_0 .

Теперь, посчитаем длину свободного пробега R :

$$R = \frac{(15 + 273) \cdot P_0 \cdot 4.75}{T \cdot 760} \sim 2.1 \pm 0.1 \text{ см}$$

По формуле (4) оценим энергию α -частицы:

$$E \sim \left(\frac{R}{0.32} \right)^{2/3} \sim 3.5 \pm 0.15 \text{ МэВ}$$

Экспериментальные данные представлены на рисунке 6:

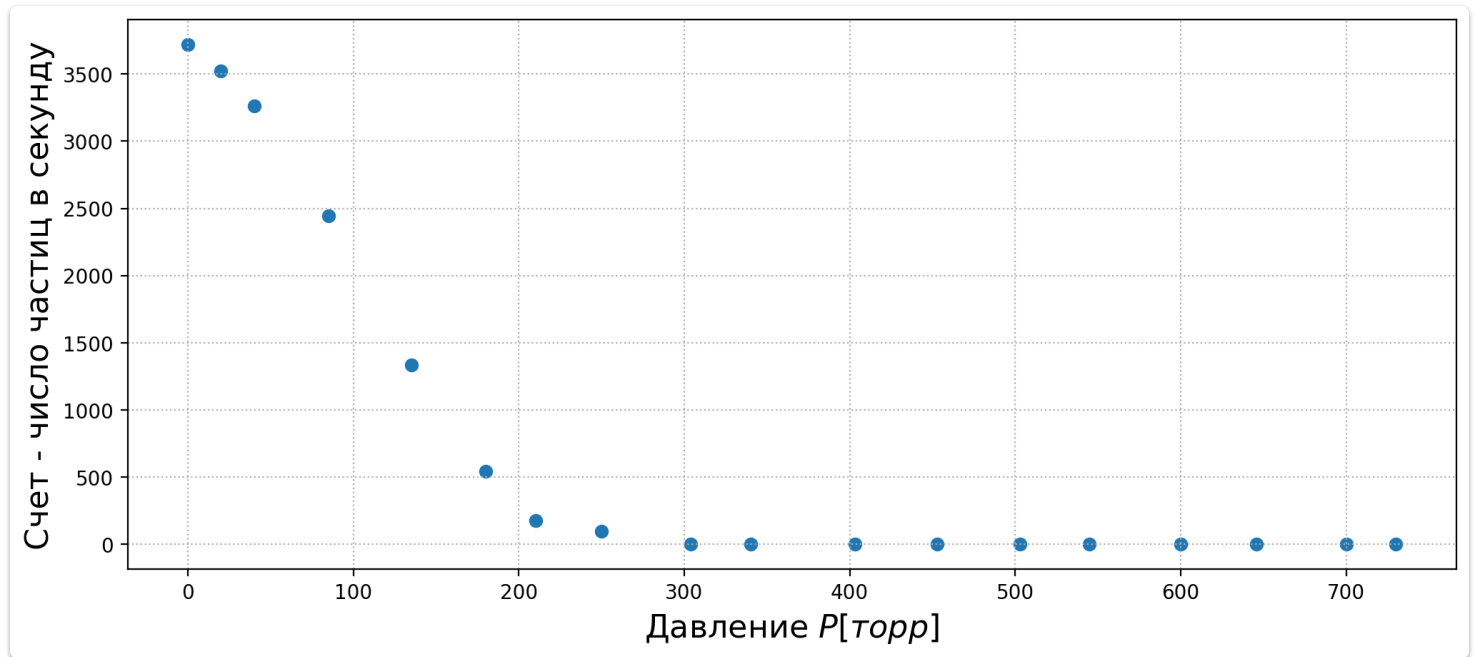


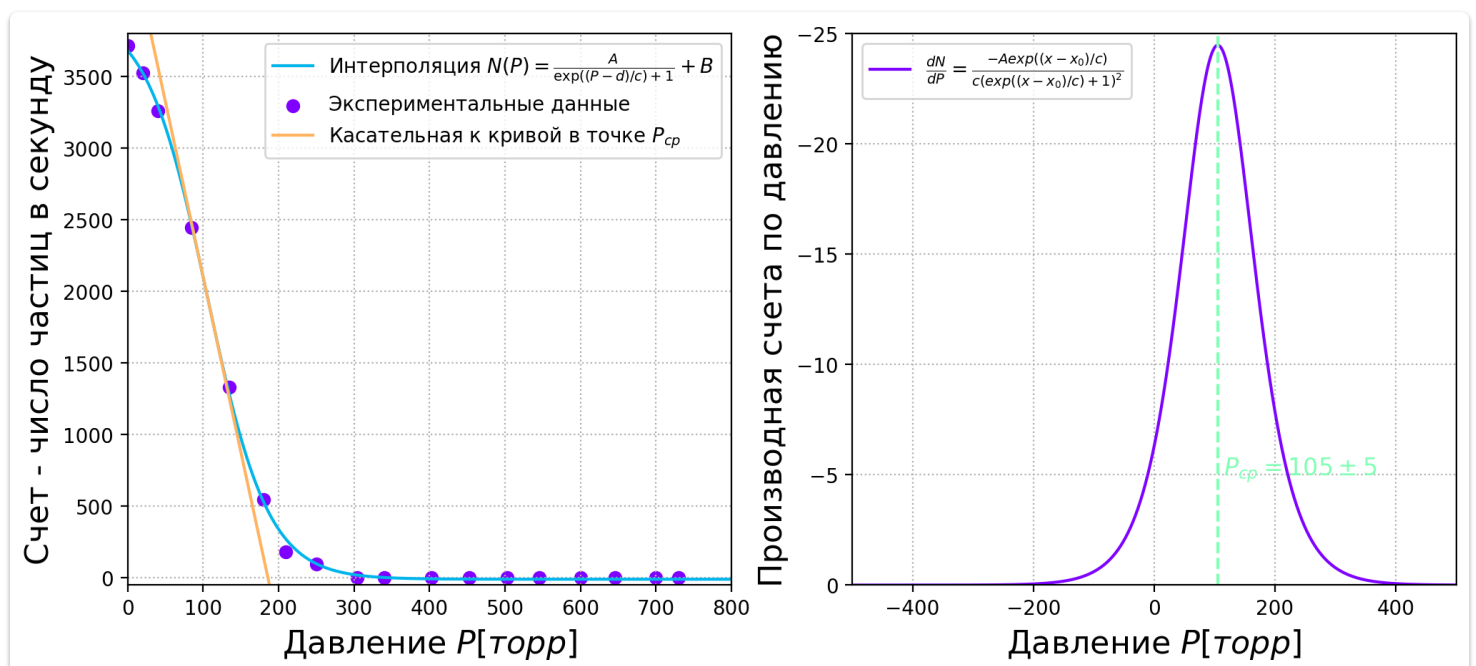
Рисунок 5. Данные полученные в ходе эксперимента

Можно заметить, что график похож на <<функцию нормального распределения наоборот>>. С такой функцией распределения мы знакомимся на электронике — она носит название функции Ферми-Дирака. Эта функция задаёт числа заполнения квантовых состояний в системе тождественных фермионов (одно квантовое состояние не может быть занято более чем одной частицей).

Методом наименьших квадратов приблизим экспериментальные данные функцией распределения Ферми-Дирака. Для нормировки введём параметры A и B :

$$\hat{N}(P) = \frac{A}{\exp((P - d)/c) + 1} + B$$

Функция используемая для приближения экспериментальных данных.



Найдя нормировочные константы и параметры распределения оценим <<среднее значение>> давления, и эффективное значение давления. Аналогично предыдущему пункту вычислим пробег α частиц:

$$R_{cp} = 1.21 \pm 0.06 \text{ см} \quad R_{эфф} = 2.15 \pm 0.08 \text{ см}$$

По формуле (4) пересчитаем полученные значения в энергию:

$$E_{cp} = 2.4 \pm 0.1 \text{ МэВ} \quad E_{эфф} = 3.6 \pm 0.2 \text{ МэВ}$$

Вывод

Используя две установки удалось оценить величину пробега α частиц и их энергию. Для ^{239}Pu табличное значение энергии α частиц составляет $\sim 5.1 \text{ МэВ}$. Таким образом, результаты обоих экспериментов не совпали с табличным значением. Расхождение составило около 25%.

Столь большое расхождение может быть связано как с неидеальностью теоретической модели, так и с неправильно введенными параметрами установок.

Если параметры установки учтены правильно, то эмпирическая константа в формуле (4) должна оказаться равной 0.187(уменьшиться вдвое).

При обработке экспериментальных данных была замечена <<связь>> между функцией распределения Ферми-Дирака и зависимостью счета от давления(смотрите рисунок 6). Теоретических обоснований такой <<связи>> найдено не было.